УДК 539.17

НУКЛЕОСИНТЕЗ ТРАНСУРАНОВЫХ ЭЛЕМЕНТОВ В ТЕРМОЯДЕРНЫХ ВЗРЫВАХ

© 2025 г. Ю. С. Лютостанский^{1),*}, В. И. Ляшук^{2),1),**}

Поступила в редакцию 27.07.2024 г.; после доработки 27.07.2024 г.; принята к публикации 28.09.2024 г.

Искусственный г(гаріd)-процесс нуклеосинтеза в нейтронных потоках высокой плотности термоядерного взрыва ($\sim 10^{24}$ н/см² во временном интервале $\sim 10^{-6}$ с) исследуется в рамках разработанной динамической модели. Образование трансурановых нуклидов изучается с учетом временной зависимости параметров и процессов, сопровождающих бета-распады нейтронно-избыточных тяжелых ядер. Вероятности бета-задержанных процессов рассчитывались по микроскопической теории конечных ферми-систем. Расчеты выходов Y(A) трансурановых нуклидов проведены для пяти крупномасштабных взрывных экспериментов США ("Mike", "Anacostia", "Par", "Barbel" и "Vulcan"), и получено хорошее или удовлетворительное согласие с экспериментальными данными. Четно-нечетная аномалия в наблюдаемых выходах трансуранов при A > 250 объясняется влиянием процессов, сопровождающих бета-распад тяжелых нейтронно-избыточных изотопов.

Ключевые слова: искусственный нуклеосинтез, трансурановые элементы, ядерные и термоядерные взрывы, бета-распады тяжелых нейтронно-обогащенных изотопов

DOI: 10.31857/S0044002725010042, EDN: GSPPWV

1. ВВЕДЕНИЕ

В природе образование тяжелых нуклидов происходит в быстром r(rapid)- и медленном s(slow)-процессах (n, γ) -захвата. Космологический г-процесс идет во взрывах сверхновых [1] с продолжительностью от долей секунды до нескольких секунд, что на много порядков быстрее медленного s(slow)-процесса, идушего годы и вплоть до тысяч лет [2]. Длительность искусственного г-процесса, рассмотренного в настоящей работе, определяется малой массой взрывающегося вещества (в сравнении со звездами) и значительно более коротким временным масштабом нуклеосинтеза ~10-6 с. Это позволяет сильно упростить математическое моделирование взрывного процесса (назовем его мгновенным ("prompt") или pr-процессом) и разделить во времени на две фазы: на процессы нейтронных захватов и последующие бета-распады образующихся нуклидов, так как $t_{(n,\gamma)} \ll t_{\beta}$.

Искусственный рг-процесс при взрывах ядерного/термоядерного устройства интенсивно идет в специально сконструированной мишени внутри объема взрываемой экспериментальной установки. Для успешных результатов (т.е. об-

разования наиболее тяжелых элементов путем (n, γ) -захватов) мишень изготавливается из урана или трансурановых изотопов. Впервые наиболее полные и значительные результаты были получены с мишенью из изотопа 238 U.

Схема образования трансурановых изотопов в интенсивных (взрывных) нейтронных потоках (рг-процесс) поясняется на рис. 1 в сравнении с более медленным s-процессом — образованием трансуранов, происходящим, например, в ядерных реакторах.

После окончания реакций цепного деления $(\sim 10^{-7} \text{ c})$ вещество быстро разлетается и в интересующем нас временном интервале рг-процесса $(\sim 10^{-6} \text{ c})$ увеличение объема сильно разогретой взрывом плазмы сопровождается быстрым остыванием вовлеченного в движение вещества. Падающая температура вещества мишени будет определять значения скоростей захватов нейтронов — (n, γ) -реакций. Вклад от β^- , α -распадов и спонтанного деления в нуклеосинтез пренебрежимо мал во время взрыва, поскольку соответствующие скорости λ_{β} , λ_{α} и λ_f много меньше скорости n-захвата $\lambda_{n,\gamma}$. Возможно пренебречь также и вкладом реакций (n, f), (n, 2n), имеющих более высокий энергетический порог относительно (n, γ) -реакции. По окончании pr-процесса образовавшиеся нейтронно-избыточные короткоживущие изотопы урановой мишени начинают распадаться в β^- , α -распадах и при спонтанном де-

 $^{^{1)}}$ Национальный исследовательский центр "Курчатовский институт", Москва, Россия.

²⁾ Институт ядерных исследований РАН, Москва, Россия.

^{*} E-mail: lutostansky@yandex.ru

^{**} E-mail: lyashuk@itep.ru

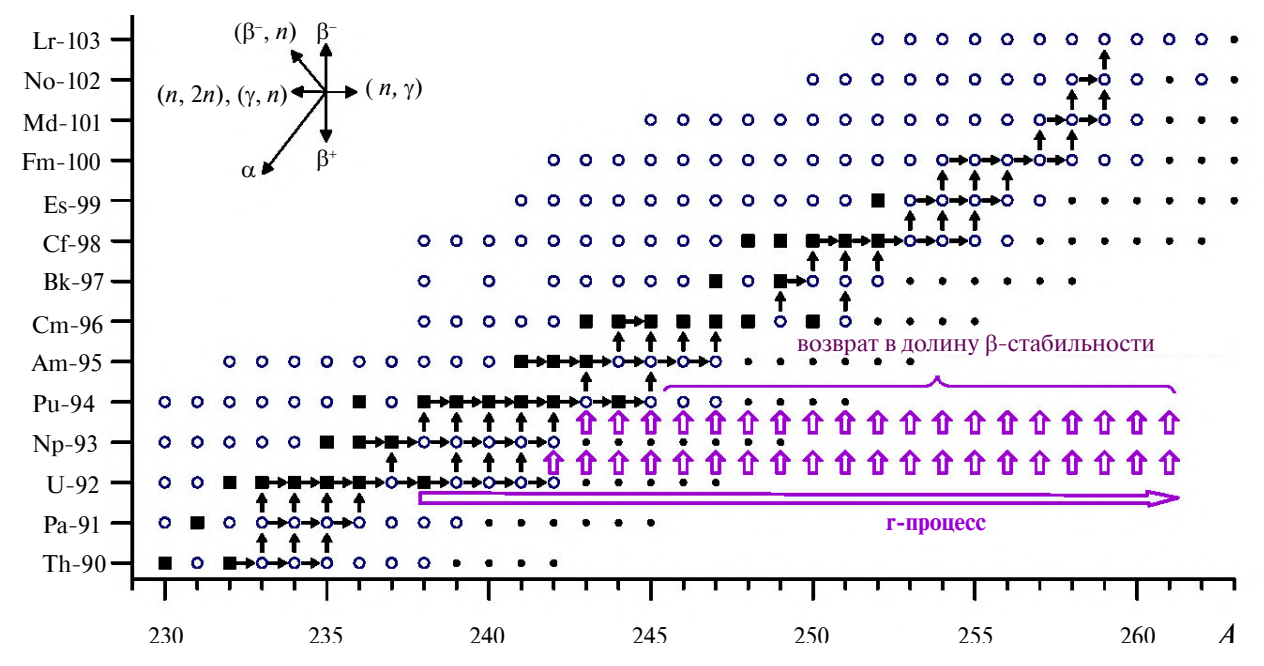


Рис. 1. Схема образования актинидов в искусственном медленном (s-процесс) и быстром мгновенном (pr-процесс) нуклеосинтезе: ■ — ядра с $T_{1/2} \ge 1$ г; \circ — ядра с $T_{1/2} < 1$ г; \bullet — прогнозируемые нейтронно-избыточные ядра из базы данных JAEA [3] (Япония); маленькие горизонтальные и вертикальные стрелки — путь s-процесса при плотности потока нейтронов $\sim (10^{14}-10^{16})$ н/(см² с); \uparrow — возврат в долину β -стабильности; двойная горизонтальная линия со стрелкой — путь pr-процесса.

лении (см. рис. 1). Процессы β^- -распадов ведут к образованию новых элементов с большими значениями заряда Z.

В настоящей работе образование трансурановых нуклидов в импульсных нейтронных потоках (в интервале нуклеосинтеза $\sim 10^{-6}$ с) исследовано с помощью динамической модели (адиабатическая бинарная модель — ABM) с учетом временной зависимости температуры, сечений и процессов, сопровождающих β^- -распады нейтронно-избыточных ядер. Бета-распадные процессы учтены для коррекции выходов изотопов после нейтронной волны. Рассмотрена четно-нечетная аномалия в наблюдаемых выходах трансурановых изотопов: завышение для нечетных изотопов и занижения для четных нуклидов.

2. ЭКСПЕРИМЕНТАЛЬНЫЕ ДАННЫЕ ПО ТЕРМОЯДЕРНЫМ ИСПЫТАНИЯМ

Исследования образования трансурановых ядер в искусственных условиях рг-процесса проводились в США в 1952—1969 гг. при ядерных испытаниях. Трансурановые изотопы (вплоть до ²⁵⁵Fm) впервые были обнаружены в термоядерном взрыве "Міке" [4, 5] в 1952 г. Позднее в США была проведена серия экспериментов, ориентированных на синтез трансурановых элементов в условиях термоядерного взрыва (программа "Plowshare" [6]). В последовавшем

анализе выходов трансурановых изотопов в термоядерных взрывах для облученных мишеней расчетным путем получены нейтронные флюенсы от $(1.2-1.8) \times 10^{24}$ н/см² ("Mike") до $\sim 6.6 \times 10^{24}$ н/см² ("Par", "Barbel"), где расчеты выходов трансуранов проведены в моделях нуклеосинтеза с неизменной температурой (10-20) кэВ.

В табл. 1 представлены данные термоядерных экспериментов США, проведенных в рамках исследований синтеза трансуранов. Первый "трансурановый" эксперимент "Anacostia" [7] программы "Plowshare" [6] был проведен с сильно сниженным энерговыделением (в сравнении с "Mike"); список полученных нуклидов был более обедненным: не идентифицирован изотоп A = 241, а тяжелее A = 246 обнаружены только изотопы с массами 252 и 254. Наиболее полные данные по выходам трансуранов вплоть до A = 257 были получены в эксперименте "Par" [8]. В похожем испытании "Barbel" [9] найдено значение нейтронного флюенса, близкое к данным "Par", но выход ²⁵⁷Fm был ниже, и не обнаружены изотопы с A = 251 и 256. В испытании "Cyclamen" с более высоким расчетным нейтронным флюенсом ($\sim 1.1 \times 10^{25} \text{ н/см}^2$) также не были получены новые более тяжелые изотопы [10]. Более мощный взрыв "Vulcan" [10] был сконструирован для синтеза трансуранов как конструкционно-исследовательский экспе-

Эксперимент	Дата	Выделенная энергия, кт тротилового эквивалента	Облучаемая мишень	Зарегистрированные изотопы вплоть до А-массы (и не зарегистрированные А-массы)
"Mike" [5, 14]	31 октября 1952	10400	²³⁸ U	255 (250, 251)
"Anacostia" [7]	27 ноября 1962	5.2	238 U	254 (241, 247–251, 253)
"Kennebec" [13]	25 июня 1963	< 20	238 U	_
"Par" [8]	9 октября 1964	30 [8], 38 [13]	238 U	257
"Barbel" [9]	16 октября 1964	20 [9], < 20 [13]	²³⁸ U	257 (выход не измерен: 251 и 256)
"Tweed" [11, 13]	21 мая 1965	< 20 [13]	²⁴² Ри и малая часть ²³⁷ Np	255
"Cyclamen" [11, 13]	5 мая 1966	12	²³⁸ U и малая часть ²⁴³ Am	257 (249, 256)
"Kankakee" [10, 11, 13]	15 мая 1966	(20-200)	²³⁸ U	255 (249, 251)
"Vulcan" [10, 11, 13]	25 июня 1966	25	238 U	257 (256)
"Hutch" [11–13]	16 июля 1969	(20-200)	²³⁸ U и ²³² Th	257 (249, 256)

Таблица 1. Эксперименты по образованию трансурановых изотопов

римент. Однако изотопы с массовым числом A>257 не были обнаружены. В эксперименте "Hutch" [11—13] был обеспечен рекордный флюенс (оцененный как $(2.1-2.4)\times 10^{25}$ н/см²), но также без образования изотопов с A>257 (см. табл. 1).

Дополнительные сложности связаны с тем, что детальная идентификация изотопов, образуемых при подземных испытаниях, возможна только после бурения скважины с поверхности в зону каверны, созданной взрывом, и глубина бурения составляет от нескольких сотен метров до километра. Так, устройство "Hutch" было взорвано на глубине 600 м [11]. Процесс извлечения породы при бурении может занять несколько дней: первые осколки породы были доставлены в лаборатории через семь дней после взрыва. Хотя возможны исключения, как в испытании "Cyclamen", когда образцы были получены в течение 24 ч [11]. Как результат, короткоживущие нуклиды распадаются до проведения изотопного анализа в лаборатории.

На рис. 2 представлены экспериментальные и расчетные данные настоящей работы, нормированные на выходы $Y(A_i)$ для пяти взрывов: "Mike" [5], "Par" [8], "Barbel" [9], "Anacostia" [7] и "Vulcan" [10]. Использована нормировка на выход изотопов с массовыми числами: A = 239 для "Mike" и "Anacostia"; A = 244 для "Barbel" и "Vulcan"; A = 245 для "Par". Снижение экспериментальных выходов Y(A) профитировано следующим образом:

$$Y(A)/Y(A_i) = \exp\{b_i \cdot A + c_i\},\tag{1}$$

$$i = 1 \text{ ("Mike")} \quad A_1 = 239,$$

 $b_1 = -1.570, \quad c_1 = 375.491,$ (1a)

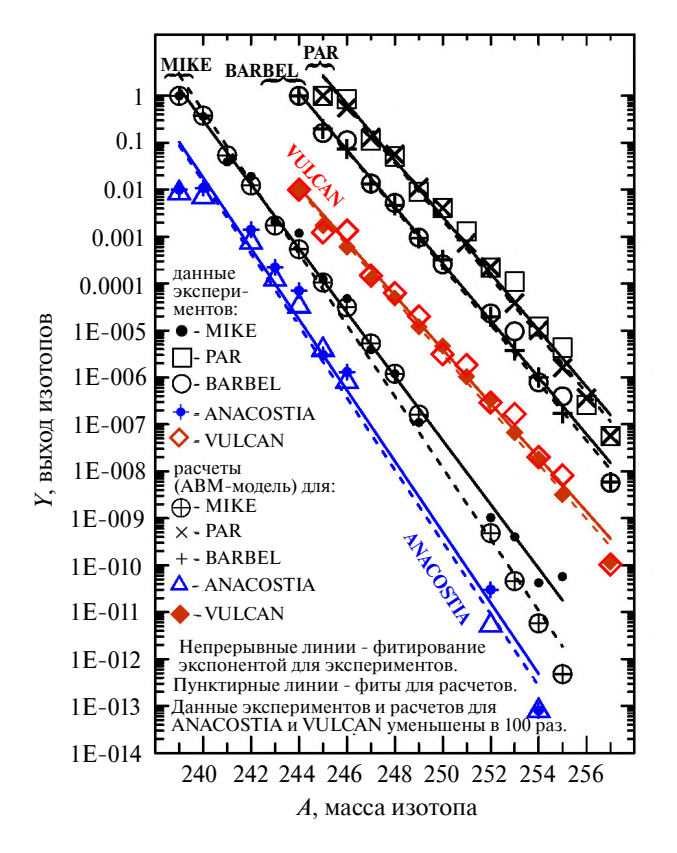


Рис. 2. Результаты расчетов выхода изотопов в ABM-модели в сравнении с экспериментами "Mike", "Anacostia", "Par", "Barbel" и "Vulcan". Экспоненциальное фитирование экспериментальных данных показано сплошной линией. Экспериментальные данные и результаты расчетов для "Anacostia" и "Vulcan" уменьшены в 100 раз. Штриховые линии — экспоненциальные фиты для расчетных выходов (учтены только зарегистрированные массовые значения *A*).

$$i = 2$$
 ("Barbel") $A_2 = 244$,
 $b_2 = -1.395$, $c_2 = 340.584$, (1b)

$$i = 3$$
 ("Par") $A_3 = 245$,
 $b_3 = -1.388$, $c_3 = 341.015$, (1c)

$$i = 4$$
 ("Anacostia") $A_4 = 239$,
 $b_4 = -1.739$, $c_4 = 417.941$, (1d)

$$i = 5$$
 ("Vulcan") $A_5 = 244$,
 $b_5 = -1.325$, $c_5 = 323.396$. (1e)

Стандартное отклонение данных аппроксимаций: $\delta_1 = 56.0\%$ ("Mike"), $\delta_2 = 60.2\%$ ("Barbel"), $\delta_3 = 86.8\%$ ("Par"), $\delta_4 = 277\%$ ("Anacostia"), $\delta_5 = 86.4\%$ ("Vulcan"), что сравнимо с точностью известных расчетов. Погрешность в определении параметров наклона экспонент оценена как $\Delta b_1 = \pm 0.030$, $\Delta b_2 = \pm 0.055$, $\Delta b_3 = \pm 0.023$, $\Delta b_4 = \pm 0.186$, $\Delta b_5 = \pm 0.035$ (указано максимальное абсолютное значение из плюс-минус погрешности).

Результаты расчетов выхода изотопов по ABM-модели (Adiabatic Binary Model [15–17]) в сравнении с экспериментами "Mike", "Par" и "Barbel" ранее обсуждались в работах [18–20].

3. МЕТОДЫ РАСЧЕТА ВЗРЫВНОГО НУКЛЕОСИНТЕЗА

При моделировании рг-процесса в ядерных/термоядерных взрывах сделан ряд упрощений благодаря разделению во времени нейтронных захватов и распадов нуклидов. Поэтому система уравнений для временной зависимости концентрации N(A;Z;t) ядер с массовым числом A и зарядом Z имеет вид

$$dN(A, Z, t)/dt = -\lambda_{n,\gamma}(A, Z, t)N(A, Z, t) + + \lambda_{n,\gamma}(A - 1, Z, t)N(A - 1, Z, t) + \lambda_{n,2n}(A + 1, Z, t) \times \times N(A + 1, Z, t) - \lambda_{n,2n}(A, Z, t)N(A, Z, t) - - \lambda_{n,f}(A, Z, t)N(A, Z, t) - \Phi[\lambda_{\beta}, \lambda_{\beta n}, \lambda_{\beta f}, \lambda_{\alpha}, \lambda_{sf}],$$
 (2)

где $\lambda_{n,\gamma}$ — скорость захвата нейтронов в (n, γ) реакции, $\lambda_{n,2n}$ — скорость реакции (n, 2n), $\lambda_{n,f}$ —
скорость деления нейтронами. Реакции, вызываемые γ -квантами, не учитывались ввиду низкой
температуры (в сравнении с астрофизическими
процессами). Член $\Phi[\lambda_{\beta}, \lambda_{\beta n}, \lambda_{\beta f}, \lambda_{\alpha}, \lambda_{sf}]$ в системе
уравнений (2) не зависит от времени, поскольку
он включает процессы, идущие после активной
фазы взрыва: β -распад, (β^-, n) -эмиссия запаздывающих нейтронов (DN), α -распад, (β^-, f) -задержанное (DF) и (sf)-спонтанное деление. Выходы нейтронно-избыточных ядер корректируются
на β^- -распад после нуклеосинтеза [21]. Вероятности DF- и DN-процессов рассчитаны на основе микроскопической теории Fermi-систем [22].

Эффекты резонансной структуры силовой функции β -распада, включая пигми-резонансы, также учтены [23].

Зависящая от времени часть системы уравнений (2) решена с использованием адиабатической бинарной модели [15-17], где численное моделирование реализовано разбиением интервала рг-процесса на малые (наносекундные) шаги с расчетом выхода изотопов в каждом последующем шаге. Начальные условия для шагов определены изотопным составом мишени и выходами предшествующих изотопов в предыдущем временном шаге. Принимая во внимание бинарную реализацию модели, в расчете задавались два набора нейтронных потоков (для основного и примесного изотопа мишени) и два набора исходных концентраций. В сериях расчетов определены варианты с минимальным отклонением от экспериментальных выходов.

4. РЕЗУЛЬТАТЫ РАСЧЕТОВ ДЛЯ ТЕРМОЯДЕРНЫХ ВЗРЫВОВ

В модельных расчетах реализован унифицированный подход в рамках адиабатической бинарной модели – принималось, что в первичной ²³⁸U-мишени существует примесь изотопа ²³⁹Pu. Наличие примеси ²³⁹Ри в облучаемой мишени логично предположить, поскольку во взрывных процессах деления и последующей термоядерной реакции образуется плазменный "шар", где присутствуют все изотопы заряда и конструкции. Импульсный нейтронный поток, возникающий на стадии деления и второй стадии взрыва (термоядерного горения), ведет к множественным (n, γ) -захватам на изотопах ²³⁸U и ²³⁹Pu с образованием нейтронно-избыточных изотопов. Специфика двухстадийного процесса с бинарной мишенью (238 U с примесью 239 Pu) указывает, что облучение урана и плутония в мишени происходит различными нейтронными потоками. Используемые экспериментальные данные представлены или в относительном виде (нормированы на надежно определенный выход одного из изотопов cA = 239-245 [5, 7, 8]), или как экспериментальное отношение числа атомов изотопа к числу атомов ²³⁸U в анализируемой фракции [9], а также как это отношение числа атомов, полученное с применением численных моделей [10]. В расчетах данной работы образование изотопов в испытаниях "Mike", "Anacostia", "Par" и "Barbel" нормировано на экспериментальные данные, а для "Vulcan" – на результаты в работе [10]; уровень единицы на обсуждаемых далее графиках (рис. 3–7) соответствует полному согласию расчетов с экспериментом.

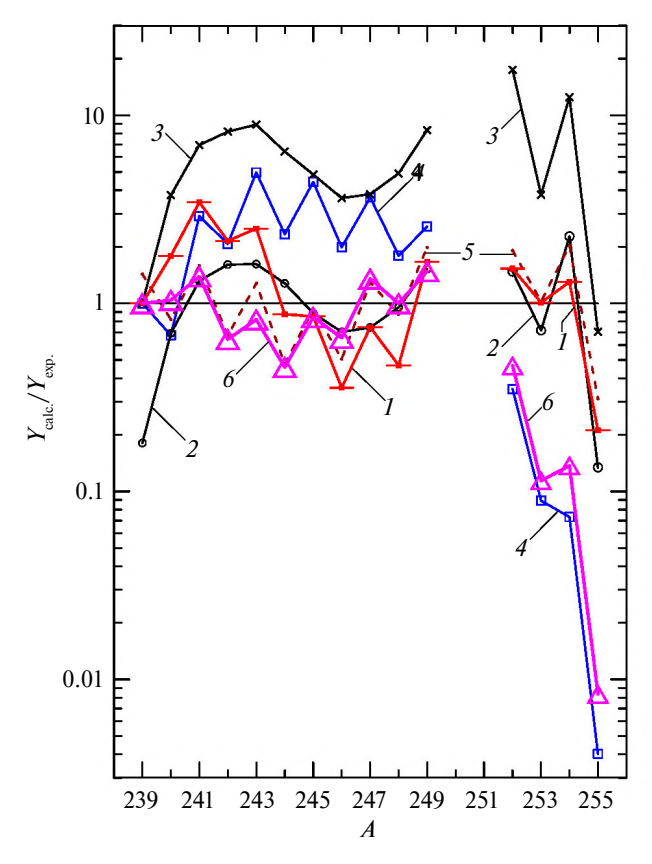


Рис. 3. Отношение нормированных расчетных выходов к нормированным выходам изотопов в эксперименте "Mike" [5] (расчеты нормированы на выход $Y(A=239)_{\rm calc.}$; выходы в эксперименте нормированы $Y(A=239)_{\rm exp.}$): I — расчеты работы [18], $\delta=91\%$; 2 — расчеты [14] без нормировки на $Y(A=239)_{\rm calc.}$; 3 — [14] с нормировкой на $Y(A=239)_{\rm calc.}$, $\delta=681\%$; 4 — выходы в работе [24], $\delta=180\%$; 5 — фитирование экспериментальных выходов экспонентой (1a), $\delta=56\%$; 6 — расчеты данной работы, $\delta=51\%$.

В серии экспериментов, включающих "трансурановые" исследования, первым было испытание "Міке". Химический анализ выбросов выявил образовавшиеся изотопы 99 Es $_{253}$ и 100 Fm $_{255}$, что означало последовательный (n, γ) -захват 15 и 17 нейтронов мишенью, состоящей из изотопа 238 U в искусственном pr-процессе [4].

Результаты моделирования эксперимента "Mike" и другие опубликованные расчеты представлены на рис. 3. Выходы данной работы получены для двух флюенсов: 0.42×10^{24} и 1.12×10^{24} н/см² для изотопов мишени — 238 U(99.6%) и 239 Pu(0.4%) соответственно. Достигнуто существенное улучшение согласия с экспериментом: среднеквадратичное отклонение данных расчетов от экспериментальных данных составило $\delta = 51\%$ в сравнении с $\delta = 91\%$ в предыдущей работе [18]. Согласие расчетных

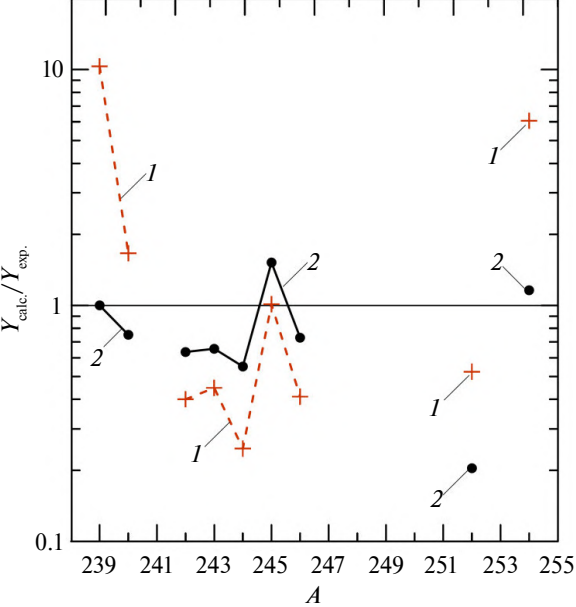


Рис. 4. Отношение нормированных расчетных выходов к нормированным выходам изотопов в эксперименте "Anacostia" [7] (расчеты нормированы на выход $Y(A=239)_{\rm calc.}$; выходы в эксперименте нормированы на $Y(A=239)_{\rm exp.}$): I- фитирование экспериментальных выходов экспонентой (1d), $\delta=277\%$; 2- расчеты данной работы, $\delta=41\%$.

выходов с экспериментом также лучше, чем при фитировании эксперимента экспонентой – $\delta = 56\%$ (1a). Именно поэтому, при подгонке расчетов экспонентой (см. рис. 2) получены параметры, существенно отличные от (1a): $b_1 = -1.752$, $c_1 = 419.830$. Улучшение достигнуто благодаря значительно меньшим отклонениям от экспериментальных выходов в интервале A = 239-249. Однако на "хвосте" распределения расчетные выходы резко падают при $A \ge 253$. Полагаем, что одной из возможных причин ухудшения согласия является снижение нейтронного потока к концу временного интервала нуклеосинтеза. Отметим, что остается сложность с воспроизведением роста выхода изотопа с A = 255 (см. рис. 3). Степень согласия других известных расчетов с экспериментом невелика; комментарии представлены в подписи к рис. 3.

В рамках утвержденной в 1958 г. программы "Plowshare" [6] (направленной на использование ядерных взрывов в научных и промышленных целях) исследование синтеза трансуранов было продолжено в сравнительно маломощном испытании "Anacostia" (табл. 1) [7]. Вероятно, одной из причин более обедненных результатов этого испытания (отсутствие данных по синтезу изотопов с массами A = 241, 247-251, 253) был невысокий нейтронный поток. Расчетные результаты

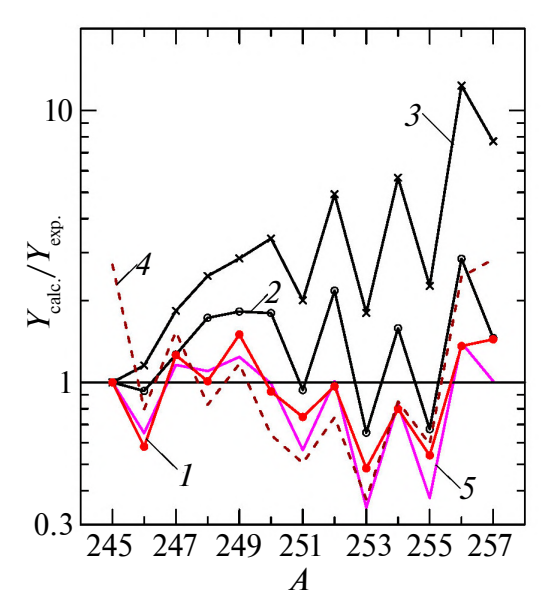


Рис. 5. Отношение нормированных расчетных выходов к нормированным выходам изотопов в эксперименте "Par" [8] (расчеты нормированы на выход $Y(A=245)_{\rm calc.}$; выходы в эксперименте нормированы на $Y(A=245)_{\rm exp.}$): I — расчеты работы [18], $\delta=33\%$; 2 — расчеты [8] с флюенсом 4.2×10^{24} н/см², $\delta=75.9\%$; 3 — расчеты [8] для флюенса 4.8×10^{24} н/см², $\delta=417\%$; 4 — фитирование экспериментальных выходов экспонентой (1c), $\delta=86.8\%$; 5 — расчеты данной работы, $\delta=33\%$.

для "Anacostia" (см. рис. 4) получены для условий: 238 U (99.9% в мишени) облучен в нейтронном флюенсе 0.88×10^{24} н/см², а для 239 Pu (0.1%) поток — 1.3×10^{24} н/см². Среднеквадратичное отклонение расчетов от эксперимента $\delta = 41\%$, что значительно лучше подгонки (1d) эксперимента экспонентой $\delta_4 = 277\%$.

Самым успешным был эксперимент "Par", где был впервые идентифицирован изотоп 257 Fm. что свидетельствовало о захвате 19 нейтронов в искусственном рг-процессе. В эксперименте были получены все трансураны в интервале масс A = 245-257 [8]. Наилучшее согласие ($\delta = 33\%$) расчетов с экспериментом достигнуто при потоках 2.28×10^{24} и 2.44×10^{24} н/см² для мишени с составом: ²³⁸U(98%) и ²³⁹Pu(2%) соответственно. Уровень согласия совпадает с результатом работы [18], но удалось снизить расхождение с экспериментом при $A \le 250$, что принципиально важно для адекватного моделирования нейтронного потока в полном интервале выходов. Модельные расчеты также лучше соответствуют эксперименту, чем фитирование (1с) экспонентой: $\delta_3 = 86.8\%$. Результаты расчетов в сравнении с экспериментом и другими расчетами представлены на рис. 5.

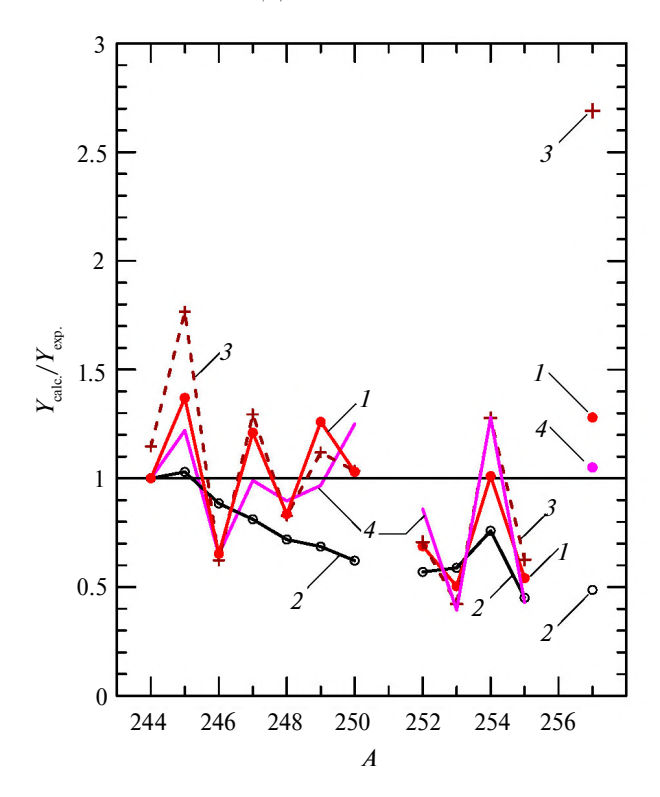


Рис. 6. Отношение нормированных расчетных выходов к нормированным выходам изотопов в эксперименте "Barbel" [9] (расчеты нормированы на выход $Y(A=244)_{\rm calc.}$; выходы в эксперименте нормированы на $Y(A=244)_{\rm exp.}$): I- расчеты работы [18], $\delta=29\%$; 2- расчеты [25], $\delta=33.5\%$; 3- фитирование экспериментальных выходов экспонентой (1c), $\delta=60.2\%$; 4- расчеты данной работы, $\delta=29\%$.

Успех, достигнутый в тесте "Раг", планировалось закрепить в эксперименте "Barbel" [9], где усилия также были направлены на получение информации о нейтронном потоке в геометрии мишени для выяснения сечений и на регистрацию трансуранов с максимальным массовым числом. Однако изотопы с A > 257 не были обнаружены, и не идентифицированы нуклиды с A = 251 и 256. Максимальное согласие расчетов с экспериментом ($\delta = 29\%$) получено при флюенсах в мишени: 1.49×10^{24} н/см² (на изотопе 238 U, 99.66% в мишени) и 2.33×10^{24} н/см² (на ²³⁹ Pu с долей - 0.34%). В сравнении с предыдущей работой [18] значение среднеквадратичного отклонения в не изменилось, но (как и в случае с "Par") получено лучшее согласие с экспериментальным выходом изотопов при A < 250 и в сравнении с фитированием экспериментальных данных: $\delta_2 = 60.2\%$ (1b). Модельные результаты и данные эксперимента представлены на рис. 6.

С подобными целями (исследование образования трансуранов, изучение нейтронного потока в схеме мишени и определение нейтрон-

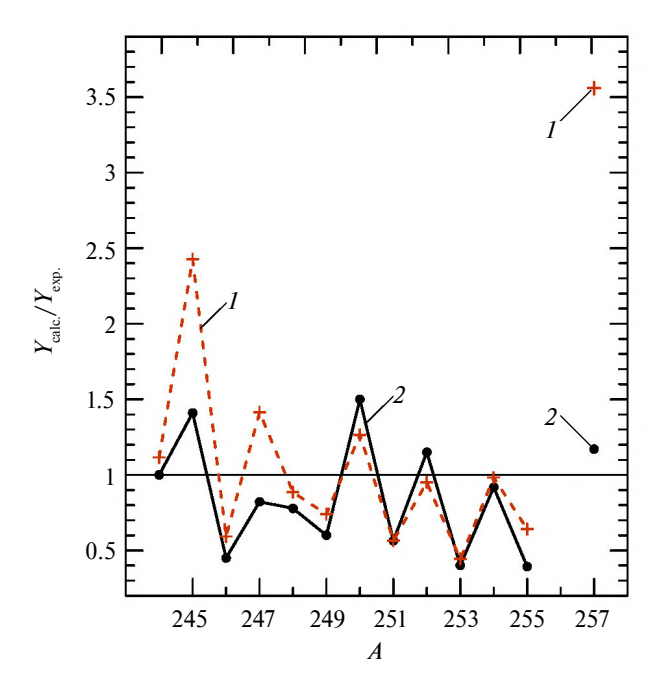


Рис. 7. Отношение нормированных расчетных выходов к нормированным выходам изотопов в эксперименте "Vulcan" [10]. Расчеты нормированы на выход $Y(A=244)_{\text{calc.}}$; выходы в эксперименте нормированы на $Y(A=244)_{\text{exp.}}$: I- фитирование экспериментальных выходов экспонентой (1e), $\delta=86.4\%$; 2- расчеты данной работы, $\delta=39\%$.

ных сечений) в 1966 г. проведен эксперимент "Vulcan" [10]. В геометрии эксперимента предусматривалось обеспечение максимального нейтронного флюенса в месте установки урановой мишени $^{238}{
m U}$ для эффективного r-процесса. Но в анализируемых пробах также отсутствовали нуклиды с A > 257. Не был идентифицирован изотоп с массой A = 256. Отметим, что для теста "Vulcan" выходы для всех изотопов (A = 244-255, 257) даны как число ядер, образованных от стартовых 3.4×10^{22} ядер изотопа 238 U (т.е. части мишени, активированной нейтронами). В расчетах образования изотопов с A > 244 нормирование осуществлено на экспериментальный выход нуклида с массой A = 244. При моделировании наибольшее согласие с экспериментом δ = 39% получено для мишени, содержащей 238 U (99.8%) и 239 Pu (0.2%) в потоках 1.2×10^{24} и 2.38×10^{24} н/см² для урановой и плутониевой компоненты соответственно. Степень согласия расчетов также лучше подгонки эксперимента экспонентой: $\delta_5 = 86.4\%$ (1e). Данные эксперимента и расчетов представлены на рис. 7.

5. ОСОБЕННОСТИ ИСКУССТВЕННОГО ВЗРЫВНОГО НУКЛЕОСИНТЕЗА И МОДЕЛИ

Искусственный г-процесс реализуется в интервале двух последовательных этапов - делительного и синтеза. На первом этапе запускается цепная реакция деления с длительностью порядка десятков наносекунд (35 нс [26]) и более (до 100-150 нс [27]) в испытаниях с большим энерговыделением. Температура ~1.4 кэВ, создаваемая при делении ($\sim 10^7$ градусов [26]) ниже необходимой (4.2, 18 и 25 кэВ) для запуска реакций второго этапа (${}^{2}H + {}^{3}H$; ${}^{2}H + {}^{3}He$; ${}^{2}H + {}^{2}H$ соответственно) [27]. Температура, необходимая для поджигания термоядерного горючего, подымается до необходимой благодаря имплозии объема с горючим. Временной интервал на осуществление имплозии определяется пробегом волны сжатия и для компактных устройств в экспериментах по нуклеосинтезу может быть оценен как (0.5-1) мкс для расстояния (10-15) см и скорости $\sim 3 \times 10^7$ см/с. Термоядерное горение — быстрый процесс, длящийся несколько наносекунд [27]. Время замедления нейтронов с энергией 14 МэВ (от термоядерных реакций) и, тем более, нейтронов деления до энергии ~1 кэВ не превышает 100 нс. Для эксперимента, основанного только на цепной реакции, нуклеосинтез осуществляется после взрыва. Для двухэтапного процесса нуклеосинтез (его длительность ~1 мкс) частично перекрывается со вторым этапом горения. Но для экспериментов с превалирующим вкладом термоядерного горения образование трансуранов будет идти преимущественно на втором этапе. В данной работе рассматривается грубая модель и считается, что нуклеосинтез идет после взрыва (подобное допущение применялось и ранее, см., например, работы [25, 28]).

Принято, что начальная средняя температура нуклеосинтеза — 20 кэB [10], что достаточно для запуска термоядерного горения. Для моделирования в АВМ-модели указана также температура к концу нуклеосинтеза -2 кэВ (как в [29]). Подобная конечная температура определена по результатам эксперимента "Parrot" [30], где принималось, что скорость разрушения (разлета материала устройства) однозначно связана с его минимальной температурой. Полученная в испытании нижняя граница энергии нейтронов утечки указывает, что материальная скорость вылета вещества $\sim 3 \times 10^7$ см/с. В расчете ABM-модели введена материальная скорость разлета 1.9×10^7 см/с [29], что грубо соответствует эксперименту. Учет разлета материи позволяет рассчитывать накопление трансуранов, корректируя скорость нуклеосинтеза в соответствии с температурой среды. С падением температуры значительно растут сечения (особенно к концу интервала нуклеосинтеза): так, (n, γ) -сечение ²³⁸U возрастает примерно в 3 раза. В результате наилучшее соответствие расчетных выходов данным эксперимента достигается при меньшем нейтронном флюенсе. Ранее в работах [18–20] рассматривались варианты небольшого падения температуры (со снижением до полутора раз). Все оценки флюенсов [14, 8, 25, 10, 24], достигнутых при облучении стартового изотопа ²³⁸ U, получены в статических моделях нуклеосинтеза (т.е. при постоянных сечениях). В настоящей работе ставилась цель рассмотреть сценарий образования трансурановых изотопов при значительном изменении температуры (с учетом экспериментальных данных работы [30]) при импульсном искусственном нуклеосинтезе.

6. ЗАКЛЮЧЕНИЕ

Быстрый нуклеосинтез (г-процесс) проходит в звездах, а в искусственных условиях - при ядерных/термоядерных взрывах в микросекундном интервале времени (promt rapid pr-процесс) при нейтронных флюенсах $\sim (10^{24} - 10^{25})$ см⁻². В работе обсуждаются результаты расчетов для пяти экспериментов по нуклеосинтезу трансурановых изотопов с образованием нейтронноизбыточных ядер в интервале масс A = 239-257. Моделирование проведено по предложенной ABM-модели со стартовыми изотопами ²³⁸U и 239 Ри. Достигнуто хорошее или удовлетворительное соответствие расчетов экспериментам со среднеквадратичным отклонением: $\delta = 51\%$, 41%, 33%, 29% и 39% для экспериментов -"Mike", "Anacostia", "Par", "Barbel" и "Vulcan" соответственно. Модель является приближенной и учитывает разлет материала мишени с линейной скоростью ~190 км/с (что примерно соответствует экспериментальным данным) и сечения (п, у)-захватов в соответствии с температурой среды. Такой сценарий с элементами динамики ведет к уменьшению оценки нейтронного флюенса в мишени примерно в 3 раза в сравнении с опубликованными результатами расчетов в статических моделях с неизменной температурой среды и без введения разлета вещества мишени.

После окончания нуклеосинтеза производится коррекция на процессы запаздывающего деления и эмиссию запаздывающих нейтронов. Коррекция вводится как "losing factor" — фактор, определяющий суммарную потерю концентрации изотопов в изобарных цепочках. Важ-

но отметить, что учет запаздывающих распадов "включается" при массовом числе A>250 и "работает" на объяснение четно-нечетной аномалии в распределении концентраций N(A) при A>250. Данный механизм качественно показывает, что четно-нечетная аномалия в выходах трансуранов с массами A>250 может быть объяснена процессами запаздывающих распадов нейтронно-избыточных изотопов, образующихся в рг-процессе нуклеосинтеза.

БЛАГОДАРНОСТИ

Авторы благодарят Е.П. Велихова за внимание к работе и плодотворные обсуждения данной тематики. Мы искренне признательны Б.К. Лубсандоржиеву, И.В. Панову, В.Н. Тихонову и И.И. Ткачеву за стимулирующие дискуссии и помощь в работе.

ФИНАНСИРОВАНИЕ РАБОТЫ

Работа выполнена частично согласно госзаданию НИЦ "Курчатовский институт".

СПИСОК ЛИТЕРАТУРЫ

- 1. M. Burbridge, G. Burbridge, W. Fowler, and P. Hoyle, Rev. Mod. Phys. **29**, 547 (1957).
- 2. F.-K. Thielemann, Eur. Phys. J. A 59, 12 (2023).
- 3. https://wwwndc.jaea.go.jp/CN14/index.html
- A. Ghiorso, S. G. Thompson, G. H. Higgins, G. T. Seaborg, M. H. Studier, P. R. Fields, S. M. Fried, H. Diamond, J. F. Mech, G. L. Pyle, J. R. Huizenga, A. Hirsch, W. M. Manning, C. I. Browne, H. L. Smith, and R. W. Spence, Phys. Rev. 99, 1048 (1955).
- H. Diamond, P. R. Fields, C. S. Stevens, M. H. Studier, S. M. Fried, M. G. Inghram, D. C. Hess, G. L. Pyle, J. F. Mech, W. M. Manning, A. Ghiorso, S. G. Thompson, G. H. Higgins, G. T. Seaborg, C. I. Browne, H. L. Smith, et al., Phys. Rev. 119, 2000 (1960).
- United States Nuclear Tests. July 1945 through September 1992. DOE/NV-209-REV 16 September 2015
- 7. R. W. Hoff and D. W. Dorn, Nucl. Sci. Eng. **18**, 110 (1964).
- 8. D. W. Dorn and R. W. Hoff, Phys. Rev. Lett. **14**, 440 (1965).
- 9. Los Alamos Radiochemistry Group, Phys. Rev. Lett. **14**, 962 (1965).
- 10. J. S. Ingley, Nucl. Phys. A 124, 130 (1969).
- 11. R. W. Hoff, *Production Einsteinium and Fermium in Nuclear Explosions, Lawrence Livermore Laboratory*, UCRL-81566, August 21, 1978.
- 12. W. H. Richard, Beta Decay of Neutron-Rich Transuranic Nuclei, UCRL-94252, June 6, 1986.
- 13. S. A. Becker, Approximating the r-Process on Earth with Thermonuclear Explosions. Lessons Learned and Unanswered Questions, LA-UR-12-25146 (2012).
- 14. D. W. Dorn, Phys. Rev. 126, 693 (1962).

- 15. Yu. S. Lutostansky, V. I. Lyashuk, and I. V. Panov, Bull. Russ. Acad. Sci.: Phys. **74**, 504 (2010).
- 16. V. I. Lyashuk, Preprint of Institute of Theoretical and Experimental Physics no. 7, ITEP (Moscow, 1997); https://lss.fnal.gov/archive/other/itep-7-97.pdf
- 17. V. İ. Lyashuk, Bull. Russ. Acad. Sci.: Phys. **76**, 1182 (2012).
- 18. Yu. S. Lutostansky and V. I. Lyashuk, JETP Lett. **107**, 79 (2018).
- Yu. S. Lutostansky and V. I. Lyashuk, in *Proceedings of the 3rd International Conference on Particle Physics and Astrophysics*, KnE Energy & Physics (2018), Vol. 3, p. 57; doi: 10.18502/ken.v3i1.1723
 Yu. S. Lutostansky and V. I. Lyashuk, in *Proceedings*
- Yu. S. Lutostansky and V. I. Lyashuk, in *Proceedings* of the XXVII International Seminar on Interactions of Neutrons with Nuclei (ISINN-27), 10–14 June 2019, Dubna (JINR, 2020), p. 33.
- Ю. С. Лютостанский, Изв. АН СССР. Сер. физ. 50, 834 (1986).
- 22. A. B. Migdal, *Theory of Finite Fermi Systems and Applications to Atomic Nuclei* (Nauka, Moscow, 1983; Inter. Sci., New York, 1967).

- 23. Ю. С. Лютостанский, Письма в ЖЭТФ **106**, 9 (2017) [Yu. S. Lutostansky, JETP Lett. **106**, 7 (2017)].
- 24. V. I. Zagrebaev, A. V. Karpov, I. N. Mishustin, and W. Greiner, Phys. Rev. C **84**, 044617 (2011).
- 25. G. I. Bell, Phys. Rev. 139, B1207 (1965).
- 26. П. А. Ямпольский, *Нейтроны атомного взрыва* (Госатомиздат, Москва, 1961) [P. A. Yampol'skii, *Neitrony Atomnogo Vsryva* (Neutrons of Atomic Explosion) (Gosatomizdat, Moscow, 1961).
- 27. A. Gsponer and J-P. Hurni, arXiv: 0901.2993v1 [physics.soc-ph].
- 28. В. Г. Заграфов, В. П. Зоммер, Атомная энергия **23**, 319 (1967) [V. G. Zagrafov and V. P. Zommer, At. Energy **23**, 1064 (1967)].
- 29. V. I. Lyashuk, Res. Phys. 56, 107234 (2024).
- 30. H. A. Sandmeier and G. E. Hansen, *Thermal Neutron Spectra from an Underground Nuclear Explosion with Special Consideration of Spectral Modification due to Bomb Debris Motion*, LA-3403 (United States Atomic Energy Commission, 1965).

NUCLEOSYNTHESIS OF TRANSURANIUM ELEMENTS IN THERMONUCLEAR EXPLOSIONS

© 2025 Yu. S. Lutostansky¹⁾, V. I. Lyashuk^{1),2)}

¹⁾ National Research Centre "Kurchatov Institute", Moscow, Russia
²⁾ Institute for Nuclear Research of the Russian Academy of Sciences, Moscow, Russia

Artificial rapid nucleosynthesis (r-process) in high intensive neutron fluxes of thermonuclear explosions ($\sim 10^{24}$ n/cm² during the time $\sim 10^{-6}$ s) is investigated within the developed dynamic model. Creation of transuranium nuclides is studied taking into account the time dependence of parameters and processes accompanying the beta-decays of neutron-rich nuclei. The probabilities of beta-delayed processes are calculated basing on the finite Fermi systems theory. Calculations of the transuranium nuclides' yields Y(A) were carried out for five large-scale explosive USA experiments ("Mike", "Anacostia", "Par", "Barbel" and "Vulcan"). It was obtained good or satisfactory agreement with experimental data. Even-odd anomaly in the observed transuranium yields at A > 250 is explained by the effect of processes accompanying the beta-decays of heavy neutron-rich isotopes.